

ПЕРВЫЕ ДАННЫЕ О ВОЗРАСТЕ И ГЕОХИМИИ ПОРОД КЕНГУРАК-  
СЕРГАЧИНСКОГО ГАББРО-АНОРТОЗИТОВОГО МАССИВА (ЮГО-ВОСТОЧНОЕ  
ОБРАМЛЕНИЕ СИБИРСКОГО КРАТОНА)

*И.В. Бучко\*, Е.Б. Сальникова\*\*, А.А. Сорокин\*, А.Б. Котов\*\*, А.М. Ларин\*\*,  
С.З. Яковлева\*\**

\*Институт геологии и природопользования ДВО РАН, г. Благовещенск

\*\*Институт геологии и геохронологии докембрия РАН, г. Санкт-Петербург

В статье приведены геохимические и геохронологические данные ( $U-Pb$  метод по циркону) для Кенгурак-Сергачинского габбро-анортозитового массива Могочинского террейна Селенгино-Станового супертеррейна. Породы рассматриваемого массива характеризуются умеренным обогащением крупноионными литофильными элементами (LILE) и, напротив, деплетированием в отношении некоторых высокозарядных элементов (HFSE), элементов группы железа, что свойственно породам анортозит-рапакиви-гранитных ассоциаций. Оценка возраста, полученная для Кенгурак-Сергачинского массива,  $-1866 \pm 6$  млн лет – является первым свидетельством проявления раннепротерозойского габбро-анортозитового магматизма в пределах восточной части Селенгино-Станового супертеррейна.

**Ключевые слова:** габбро-анортозиты, геохимия, геохронология,  $U-Pb$  метод, юго-восточное обрамление Сибирского кратона.

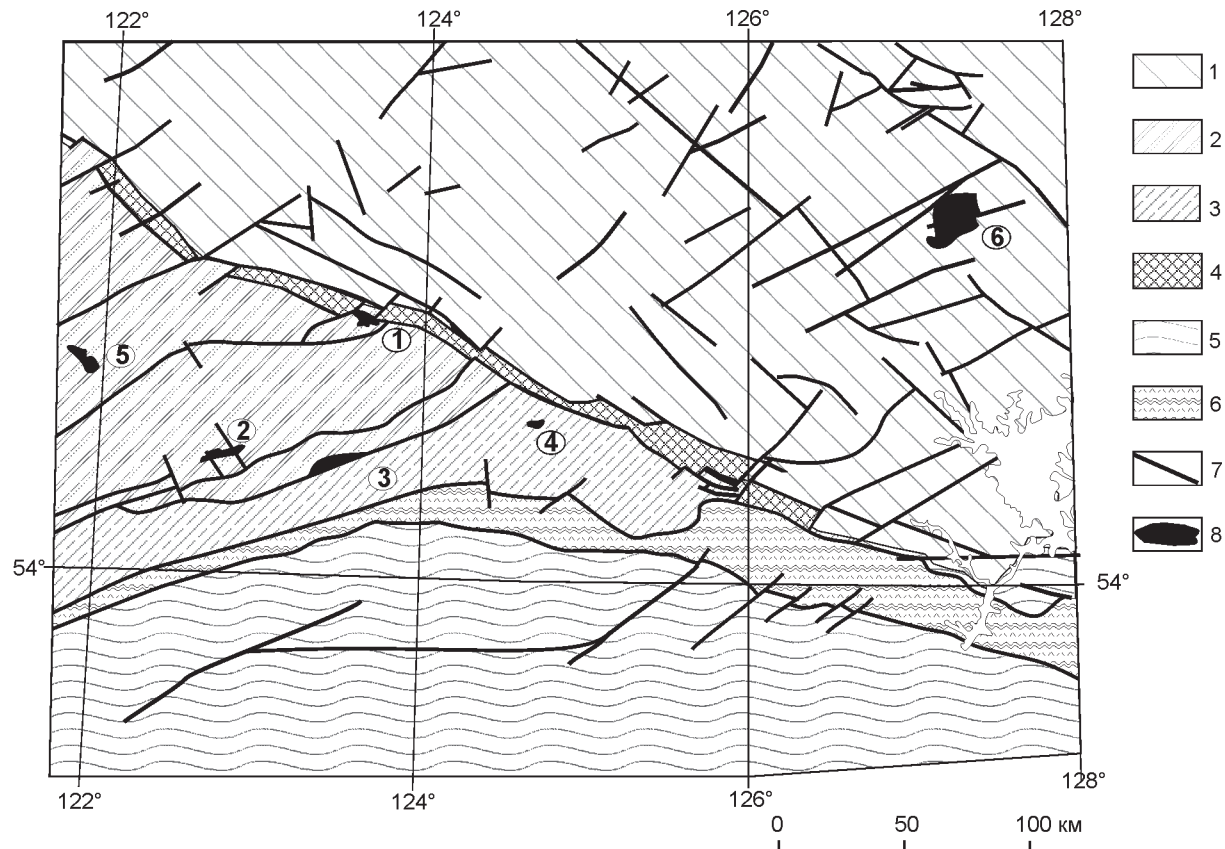
**ВВЕДЕНИЕ**

В пределах юго-восточного обрамления Сибирского кратона широко представлены разнообразные по формационной принадлежности и петролого-геохимическим особенностям расслоенные ультрамафит-мафитовые и габбро-анортозитовые массивы: Кенгурак-Сергачинский, Нюкжинский, Лукиндинский, Веселкинский, Лучинский, Ильдегусский и др. (рис.1). Согласно традиционным представлениям [7, 8, 10, 15], все эти массивы вместе с вмещающими их гранитоидами и метаморфическими породами рассматриваются как неотъемлемая часть докембрийского фундамента. Однако эта точка зрения до сих пор не подкреплена надежными геохронологическими данными. Более того, в последнее время получены изотопные свидетельства более молодого возраста значительной части геологических комплексов южного обрамления Сибирского кратона, ранее считавшихся докембрийскими [1–4, 11–13], что определяет необходимость в проведении геохронологических исследований реперных ультрабазит-базитовых и габбро-анортозитовых комплексов региона с целью определения их “места” в истории геологического развития.

Первые шаги в этом направлении уже сделаны. Так, для Веселкинского расслоенного перидотит-вебстерит-габбрового массива, расположенного в пределах Селенгино-Станового супертеррейна, установлен позднеюрский возраст [1, 3], кроме того, получены данные о позднепалеозойском возрасте Лучинского плагиодунит-троктолит-габбрового массива Джугджуро-Станового супертеррейна [13]. В данной работе приведены результаты геохронологических исследований Кенгурак-Сергачинского габбро-анортозитового массива Могочинского террейна Селенгино-Станового супертеррейна.

**КРАТКАЯ ХАРАКТЕРИСТИКА ОБЪЕКТА  
ИССЛЕДОВАНИЯ**

**Кенгурак-Сергачинский (Кенгуракский) габбро-анортозитовый массив** располагается в междуречье Бол. Ольдоя и верхний Уруши (рис. 2). Его описание было приведено ранее [2]. Здесь важно отметить, что контакты пород массива с вмещающими условно раннеархейскими(?) образованиями могочинской серии тектонические. Сведения же об их взаимоотношениях с условно раннедокембрийскими (?) гранитоидами противоречивые. Отмечаются



**Рис. 1.** Схема расположения габбро-анортозитовых массивов Могочинского террейна. Составлена по [7, 8, 10, 15].

1 – Джугджуро-Становой супертеррейн; 2–3 – Селенгино-Становой супертеррейн: 2 – Могочинский блок; 3 – Урканский блок; 4 – Джелтулакская шовная зона; 5 – Керулен-Аргунно-Мамынский супертеррейн; 6 – Монголо-Охотский складчатый пояс; 7 – тектонические нарушения; 8 – ультрамафит-мафитовые массивы.

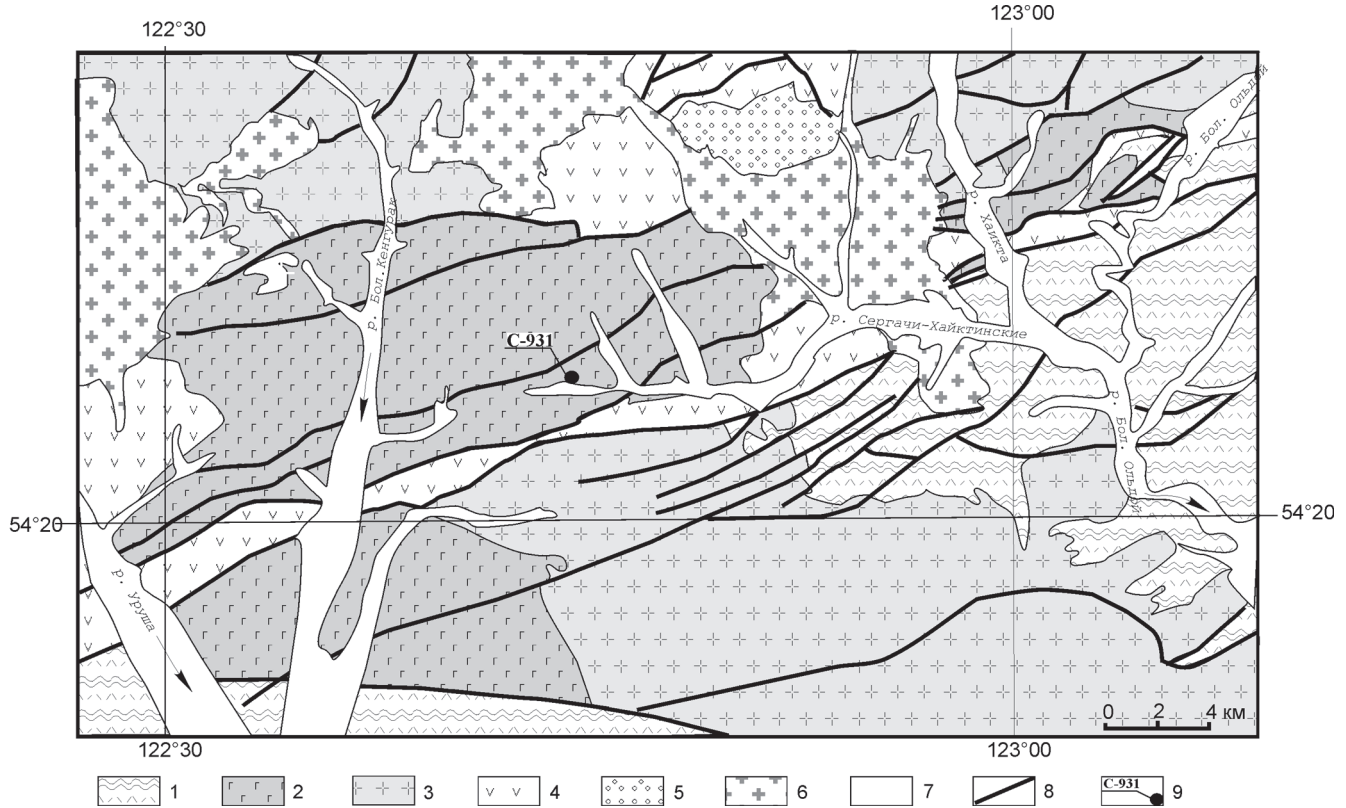
Номерами обозначены массивы: 1 – Лукиндинский, 2 – Кенгурак-Сергачинский, 3 – Монголийский, 4 – Веселкинский, 5 – Нюкжинский, 6 – Лучинский.

как факты прорывания гранитоидами пород массива с образованием ксенолитов габбро в гранитах, так и согласные взаимоотношения гранитоидов с такситовыми габбро [10]. Вплоть до настоящего времени сведения о возрасте пород данного массива отсутствовали. Согласно существующим представлениям, они вместе с метаморфическими комплексами могочинской серии условно были отнесены к раннеархейскому уровню [7, 8, 10].

Рассматриваемый массив сложен габброидами, габбро-анортозитами, анортозитами с подчиненным количеством клинопироксенитов. Первичные структурно-текстурные особенности, такие как изменение зернистости, лейкократовости, полосчатые текстуры, указывают на возможную первичную расслоенность Кенгурак-Сергачинского габбро-анортозитового массива.

Габбро представляют собой средне-крупнозернистые, реже мелко- и гиганто-зернистые породы серой окраски, обычно с зеленоватым оттенком. Для крупнозернистых разностей характерны габбровые и габбро-диабазовые структуры, для мелко-зернистых – габбро-диабазовые, диабазовые и призматически-зернистые структуры. Габбро сложены лабрадором  $An_{55-60}$ , уралитовой и сине-зеленою роговой обманкой, актинолитом, образующим спопо-видные агрегаты. Очень редко в качестве первично-го минерала отмечается моноклинный или ромбический пироксен. Аксессорные минералы представлены рудным апатитом, сферулитом, цирконом.

Габбро-анортозиты связаны взаимопереходами с габбро, от которых отличаются лейкократовым обликом, обусловленным меньшим количеством темно-цветных минералов, и отсутствием массивных тек-



**Рис. 2.** Схематическая геологическая карта Кенгурак-Сергачинского габбро-анортозитового массива. Составлена по [8, 10].

1 – нижнеархейские (?) кристаллосланцы и гнейсы; 2 – породы Кенгурак-Сергачинского массива: пироксениты, габбро, габбро-анортозиты; 3 – раннепротерозойские (?) плагиограниты, кварцевые сиениты; 4 – позднепермские вулканогенные образования – трахиандезиты, андезиты, риолиты; 5 – средне-верхнеюрские песчаники, алевролиты; 6 – позднеюрские кварцевые диориты, граниты, граносиениты; 7 – четвертичные рыхлые отложения; 8 – тектонические нарушения; 9 – место отбора образца для геохронологических исследований и его номер.

стур. Собственно анортозиты представлены серыми средне-крупнозернистыми массивными породами гранобластовой структуры, сложенными преимущественно лабрадором  $An_{50-60}$ .

Амфиболизированные апопироксениты встречаются не в коренном залегании, а в отдельных глыбах среди габбро. В породах иногда сохраняются реликты первичного пироксена, на что указывает короткостолбчатая форма псевдоморфных замещений, выполненных актинолитом и, реже, tremолитом. Аксессорные минералы представлены апатитом, магнетитом.

Все породы Кенгурак-Сергачинского габбро-анортозитового массива претерпели метаморфизм амфиболитовой фации и более поздние интенсивные гидротермально-метасоматические преобразования, включающие амфиболизацию, биотитизацию, микроклинизацию, пропилитизацию.

## АНАЛИТИЧЕСКИЕ МЕТОДИКИ

**Исследования химического состава** пород проводилось с использованием методов рентгено-флуоресцентного анализа (основные петрогенные компоненты, а также Sr, Zr, Nb) и ICP-MS (Be, Rb, Sr, Li, Cs, Th, U, Zr, Ta, Nb, Hf, REE, Sc, Ni, Co, Cr, V, Cu, Zn, W, Pb, Bi, Mo).

Рентгено-флуоресцентный анализ выполнен в Институте геохимии СО РАН (г. Иркутск). Гомогенизация порошковой пробы осуществлялась сплавлением с боратным флюсом – метаборатом лития – при температуре 1050–1100° С. Измерения проводились на рентгеновском спектрометре СРМ-25. Величины интенсивности аналитических линий корректировались на фон, эффекты поглощения и вторичной флуоресценции. Анализ химического состава образцов методом ICP-MS проводился в Институте аналитического приборостроения РАН (г. С.-Петербург).

Вскрытие образцов осуществлялось по методике кислотного разложения. Измерения проводились на приборе “PlasmaQuad” фирмы “VG Elemental” в стандартном режиме. Калибровка чувствительности прибора по всей шкале масс производилась по многоэлементному стандартному раствору фирмы “Matthew Johnson”. Относительная погрешность определений составляет 3–10 %.

**U-Pb геохронологические исследования** выполнены в Институте геологии и геохронологии докембрия РАН (г. С.-Петербург). Выделение акцессорного циркона проводилось по стандартной методике с использованием тяжелых жидкостей. Разложение циркона и химическое выделение Pb и U осуществлялось по модифицированной методике Т. Кроу [23]. Уровень холостого опыта за период исследований не превышал 20 пг Pb. Определение изотопного состава Pb и U выполнено на масс-спектрометре Finnigan MAT 261 в статическом режиме или с помощью электронного умножителя (коэффициент дискриминации для Pb –  $0.32 \pm 0.11$  аем). Обработка экспериментальных данных проводилась по программам “PbDAT” и “ISOPLOT” [26–28].

#### ОСНОВНЫЕ ПЕТРОХИМИЧЕСКИЕ И ГЕОХИМИЧЕСКИЕ ОСОБЕННОСТИ ПОРОД

Пироксениты, габброиды и габбро-анортозиты Кенгурак-Сергачинского массива образуют на петрохимических диаграммах единые тренды (рис. 3), что позволяет рассматривать их в качестве единой габбро-анортозитовой ассоциации. Для них характерно увеличение содержаний  $\text{SiO}_2$  (до 50 %) и  $\text{Al}_2\text{O}_3$  (до 24.2 %), снижение  $\text{FeO}^*$  (до 4.5%),  $\text{CaO}$  (до 2.2 %) от пироксенитов к анортозитам, что свойственно для комплексов повышенной глиноземистости [5, 9, 14, 20, 21]. Рассматриваемым породам присущи относительно умеренные содержания  $\text{TiO}_2$ , как в пироксенитах (до 1.39 %), так и в габброидах (до 1.45 %), а также высокие содержания  $\text{CaO}$  (до 11.3 %) и  $\text{K}_2\text{O}$  (до 0.8 %) в габбро-анортозитах и анортозитах (табл. 1). В целом, по особенностям петрохимического состава, в частности, по соотношению  $\text{MgO}/\text{Al}_2\text{O}_3$  (рис. 3) породы габбро-анортозитовой ассоциации принадлежат Орх-Pl котектике.

Спектры редкоземельных элементов во всех типах пород рассматриваемого массива умеренно дифференцированы (рис.4), о чем свидетельствует величина отношения  $\text{La}/\text{Yb}_{(n)} = 4–12$ . Наивысший уровень накопления лантаноидов наблюдается в пироксенитах, и он заметно снижается в габбро и анортозитах. В этом же направлении меняется ха-

рактер европеевой аномалии: от слабой отрицательной ( $\text{Eu}/\text{Eu}^*_{(n)} = 0.76–0.94$ ) до отчетливой положительной ( $\text{Eu}/\text{Eu}^*_{(n)} = 2.0 – 3.0$ ).

Отличительными геохимическими особенностями пород Кенгурак-Сергачинского массива являются умеренное обогащение крупноионными литофильными элементами (LILE): Rb (3–9 ppm в пироксенитах и до 19 ppm в габбро-анортозитах и анортозитах), Ba (25–98 ppm в пироксенитах и до 450 ppm в габбро-анортозитах), Sr (132–517 ppm в пироксенитах и до 1260 ppm в габбро-анортозитах и анортозитах), легкими редкоземельными элементами, Th (0.3–1.2 ppm), U (0.04–0.35 ppm) и, напротив, деплелирование некоторыми высокозарядными элементами (HFSE): Zr (4–38 ppm), Nb (1–3 ppm), Hf (0.1–2.4 ppm), Ta (0.01–1.16 ppm) (табл.1). Заметно истощены породы рассматриваемого массива также такими элементами, как Ni (обычно 18–55 ppm), Co (12–60 ppm), Cr (обычно 6–70 ppm), относительно которых обогащены V (до 445 ppm).

#### РЕЗУЛЬТАТЫ U-PB ГЕОХРОНОЛОГИЧЕСКИХ ИССЛЕДОВАНИЙ

Геохронологические исследования выполнены для анортозитов Кенгурак-Сергачинского массива (обр. С-931). Выделенный акцессорный циркон представлен прозрачными, реже полупрозрачными обломками кристаллов, что не позволяет судить об их габитусе. Окраска циркона изменяется от сиреневой до темно-сиреневой и коричневатой. Он характеризуется пониженной люминесценцией, грубозональным внутренним строением и секториальностью.

U-Pb изотопные исследования проведены для четырех микронавесок наиболее прозрачных фрагментов кристаллов циркона, предварительно подвергнутых аэроабразивной обработке [24]. Как видно из рис. 5, точки изотопного состава изученного циркона образуют линию регрессии, верхнее пересечение которой с конкордией отвечает возрасту  $1866 \pm 6$  млн лет, а нижнее –  $329 \pm 78$  млн лет (СКВО=1.5). Особенности внутренней морфологии циркона из анортозитов указывают на его магматическое происхождение, в связи с чем значение возраста  $1866 \pm 6$  млн лет, полученное по верхнему пересечению дискордии, предлагается в качестве наиболее точной оценки возраста становления Кенгурак-Сергачинского массива.

#### ОБСУЖДЕНИЕ РЕЗУЛЬТАТОВ

В целом, геохимические особенности пород Кенгурак-Сергачинского массива не оставляют сомнений в том, что они являются членами единой габ-

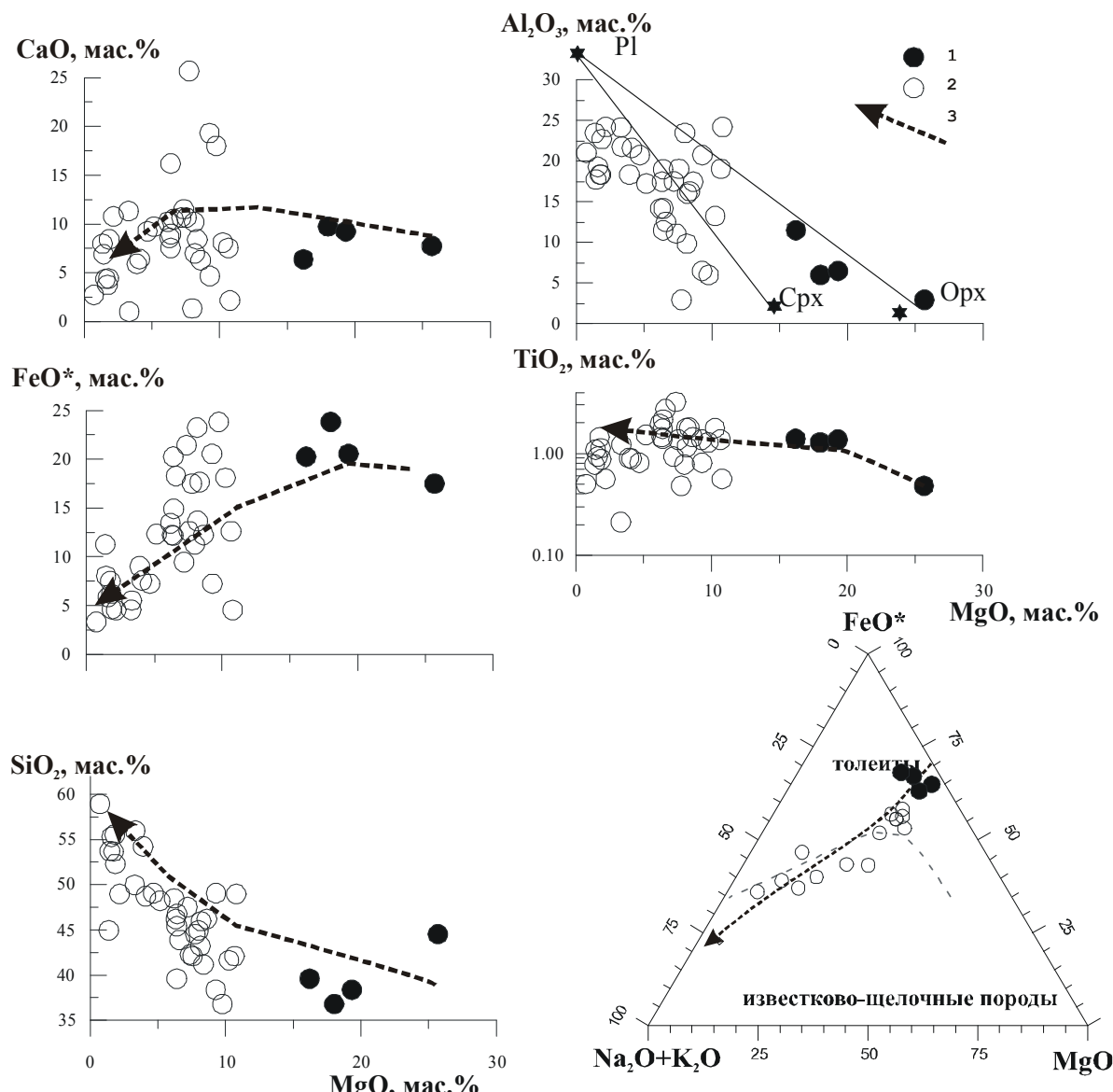


Рис. 3. Петрохимические особенности Кенгурак-Сергачинского габбро-анортозитового массива.

1 – пироксениты, 2 – габброиды, анортозиты; 3 – тренды эволюции составов пород габбро-анортозитовой ассоциации.

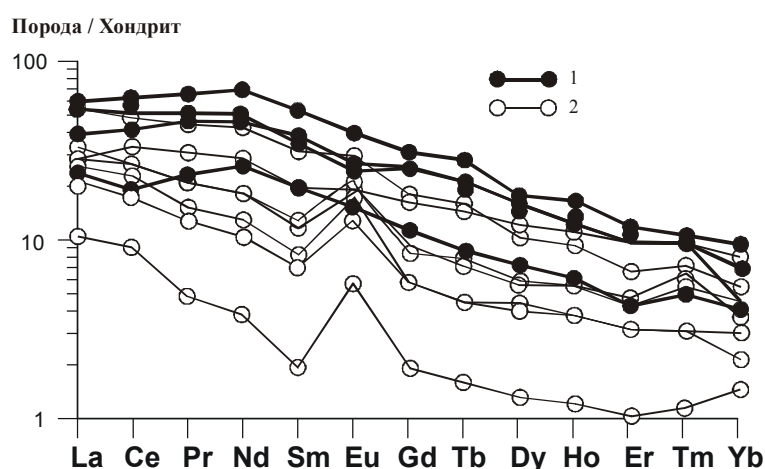


Рис. 4. Распределение REE в породах Кенгурак-Сергачинского габбро-анортозитового массива. Состав хондрита по [22].

Условные обозначения: см. рис 3.

Таблица 1. Химический состав пород Кенгурак-Сергачинского габбро-анортозитового массива.

Образец	i-76/2	76/1	75/9	75/11	68	69/40	69/24	69/8	69/17	931/1
	1	2	3	4	5	6	7	8	9	10
<b>SiO<sub>2</sub></b>	36.78	38.36	39.58	44.50	42.08	45.94	46.18	48.94	49.03	49.96
<b>TiO<sub>2</sub></b>	1.29	1.37	1.39	0.48	1.37	1.16	1.45	0.56	0.81	0.21
<b>Al<sub>2</sub>O<sub>3</sub></b>	6.00	6.52	11.53	2.95	19.06	16.01	17.47	24.23	20.78	24.18
<b>Fe<sub>2</sub>O<sub>3</sub></b>	23.81	20.54	20.24	17.49	12.60	13.65	12.24	4.54	7.24	4.56
<b>MnO</b>	0.27	0.28	0.33	0.35	0.05	0.16	0.16	0.06	0.10	0.08
<b>CaO</b>	9.75	9.26	6.39	7.76	7.55	6.99	6.31	2.17	4.67	11.33
<b>MgO</b>	18.00	19.32	16.19	25.67	10.65	8.18	8.61	10.77	9.28	3.29
<b>Na<sub>2</sub>O</b>	0.58	0.36	1.05	0.20	2.48	2.36	3.33	4.38	3.83	3.07
<b>K<sub>2</sub>O</b>	0.53	0.26	0.87	0.08	1.09	0.78	0.29	0.64	0.81	0.28
<b>P<sub>2</sub>O<sub>5</sub></b>	2.43	1.14	1.11	0.41	0.02	0.16	0.17	0.13	0.14	0.03
<b>ППП</b>	0.73	0.43	1.21	0.26	1.65	3.09	2.33	2.88	3.18	3.09
<b>Сумма</b>	100.17	97.84	99.90	100.15	98.60	98.48	98.54	99.30	99.87	100.08
<b>Cs</b>	1.65	1.06	0.35	1.10	0.43	0.28	0.18	0.29	0.31	0.05
<b>Rb</b>	9	6	6	3	19	9	3	7	15	4
<b>Sr</b>	358	517	1260	132	565	333	462	368	321	298
<b>Ba</b>	98	68	156	25	254	448	316	391	409	102
<b>Ga</b>	13	15	19	9	17	15	17	17	15	14
<b>La</b>	13.83	9.52	15.18	5.86	6.84	7.08	8.18	6.24	5.36	2.57
<b>Ce</b>	34.84	26.25	39.97	12.10	21.31	17.14	16.84	14.24	11.40	5.72
<b>Pr</b>	5.22	4.56	6.53	2.27	300	2.03	2.13	1.49	1.24	0.47
<b>Nd</b>	24.85	23.40	3400	12.70	13.38	8.66	8.97	6.29	4.96	1.82
<b>Sm</b>	6.02	5.78	8.51	3.08	3.17	1.91	1.83	1.28	1.10	0.30
<b>Eu</b>	1.54	1.43	2.42	0.90	1.15	1.23	1.13	1.10	0.77	0.34
<b>Gd</b>	5.45	5.52	6.63	2.39	3.54	1.80	1.77	1.28	1.22	0.40
<b>Tb</b>	0.84	0.77	1.09	0.32	0.59	0.28	0.31	0.17	0.17	0.06
<b>Dy</b>	4.17	3.77	4.68	1.90	3.18	1.46	1.53	1.09	1.15	0.34
<b>Ho</b>	0.73	0.78	0.96	0.36	0.63	0.32	0.32	0.23	0.22	0.07
<b>Er</b>	1.71	1.70	2.05	0.73	1.69	0.74	0.82	0.52	0.53	0.17
<b>Tm</b>	0.27	0.25	0.28	0.13	0.26	0.14	0.16	0.08	0.08	0.03
<b>Yb</b>	1.22	0.81	1.64	0.72	1.38	0.77	0.66	0.37	0.53	0.26
<b>Lu</b>	0.16	0.16	0.23	0.08	0.22	0.11	0.13	0.07	0.10	0.04
<b>Y</b>	16.27	16.46	21.34	8.97	16.33	7.75	7.87	5.24	4.99	1.78
<b>Th</b>	1.16	0.79	0.97	0.40	0.13	0.32	0.35	0.59	0.41	0.49
<b>U</b>	0.35	0.27	0.31	2.06	0.04	0.06	0.07	0.18	0.11	0.09
<b>Zr</b>	25	38	24	11	22	10	10	4	5	4
<b>Hf</b>	1.4	2.4	1.4	0.5	1.1	0.4	0.4	0.2	0.2	0.1
<b>Nb</b>	1	1	2	1	3	2	2	2	1	1
<b>Ta</b>	0.06	0.07	0.29	0.01	0.17	0.16	0.12	0.11	0.05	0.08
<b>Zn</b>	136	119	139	87	69	106	106	33	43	24
<b>Cu</b>	21	31	15	16	116	417	293	46	37	15
<b>Co</b>	60	61	42	46	45	59	54	12	17	21
<b>Ni</b>	25	25	22	18	25	443	491	33	55	36
<b>Sc</b>	52	59	25	19	32	17	19	7	12	6
<b>V</b>	382	445	458	282	308	171	153	52	63	31
<b>Cr</b>	24	31	15	6	95	169	223	71	121	35

Примечание. 1–4 пироксениты; 5–10 – габбро, габбро-анортозиты, анортозиты. Оксиды даны в мас. %, элементы – в ppm.

Таблица 2. Результаты U-Pb изотопных исследований цирконов из аортозитов Кенгурак-Сергачинского массива (обр. С-931).

N п/п	Размер фракции, мкм, и ее характеристика	Навеска, мг	Содержание, мкг/г	Изотопные отношения								Rho	Возраст, млн лет
				Pb	U	$^{206}\text{Pb}/^{204}\text{Pb}$	$^{207}\text{Pb}/^{206}\text{Pb}^a$	$^{208}\text{Pb}/^{206}\text{Pb}^a$	$^{207}\text{Pb}/^{235}\text{U}$	$^{206}\text{Pb}/^{238}\text{U}$	$^{207}\text{Pb}/^{235}\text{U}$		
1	>100, 13 зерн., коричн., A 50%	—	U/Pb=2.9	3831	0.1123±1	0.2435±1	4.480±14	0.2893±9	0.92	1727±5	1638±5	1837±2	
2	<100, 50 зерн., сирен., A 50%	0.41	64.2	174	9939	0.1135±1	0.2307±2	4.947±15	0.3162±9	0.91	1810±5	1771±5	1855±2
3	>100, 6 зерн., коричн., A 20%	—	U/Pb=2.7	4330	0.1133±2	0.2241±1	5.034±12	0.3222±6	0.66	1825±4	1800±4	1853±3	
4	>100, 9 зерн., сирен., A 40%	—	U/Pb=2.3	357	0.1143±8	0.2419±6	5.168±38	0.3280±13	0.38	1847±14	1829±7	1868±12	

Примечание. <sup>a</sup> – изотопные отношения, скорректированные на бланк и обычный свинец по модели [29]; прочерк – навеска циркона не определена; коричн., сирен. – окраска циркона; A 40 % – количество вещества, удаленное в процессе аэрообразивной обработки циркона. Все ошибки приведены на уровне  $2\sigma$ . Погрешности соответствуют последним значениям цифрам после запятой. Химическое разложение цирконов, выделение U и Pb, а также аэрообразивная обработка циркона проводились по методикам, описанным в [23–24]. При расчете возрастов использованы общепринятые значения констант распада урана [30].

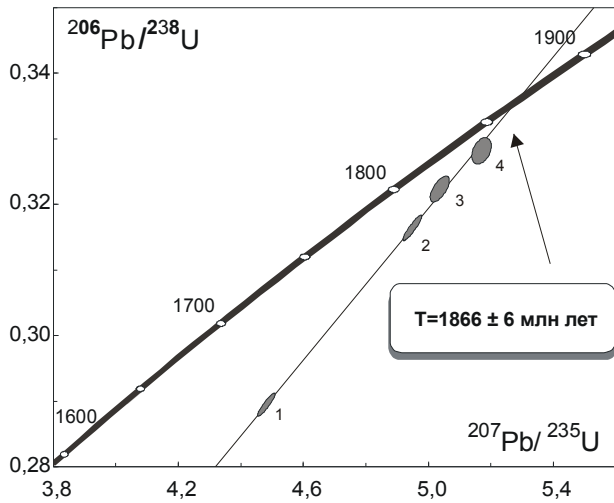


Рис. 5. Диаграмма с конкордией для цирконов из аортозитов Кенгурак-Сергачинского габбро-аортозитового массива. Номера фракций соответствуют номерам в таблице 2.

бро-аортозитовой ассоциации. Они характеризуются умеренным обогащением крупноионными литофильными элементами (LILE) и, напротив, деплелированием в отношении некоторых высокозарядных элементов (HFSE), элементов группы железа, что свойственно породам аортозит-рапакиви-гранитных ассоциаций [5].

Касаясь возраста, полученного в рамках данного исследования, необходимо отметить следующее. Выше уже упоминалось, что проблема “места” ультрамафит-мафитовых массивов юго-восточного обрамления Сибирского кратона в общей истории развития этого региона является предметом острых дискуссий. При этом, лишь в последние годы стали появляться данные о химическом составе пород этих массивов, а так же определения возраста, выполненные современными методами [1–3, 11–13, 16, 18, 19]. Сейчас уже стало очевидным, что ультрамафит-мафитовые комплексы рассматриваемого региона имеют существенно различный минералого-геохимический состав и возраст. Так, в настоящее время наиболее древние значения возраста (2.6 млрд. лет), соответствующие позднему архею, получены для каларского комплекса, принадлежащего аортозит-мангерит-чарнокит-гранитовой ассоциации и расположенного в зоне сочленения Алданского щита и Джугджуро-Станового супертеррейна [18]. Существенно более молодой – раннепротерозойский – возраст (1.7 млрд. лет) определен для габбро-аортозитов джугджурского комплекса

юго-восточной окраины того же супертеррейна [16, 17]. Появились также первые геохронологические свидетельства о позднепалеозойском возрасте существенно габброидных комплексов Джугджуро-Станового супертеррейна [4, 13]. Наконец, самый молодой на сегодняшний день – мезозойский – возраст (154 млн лет) установлен для Веселкинского перidotит-вебстерит-габбрового массива Селенгино-Станового супертеррейна [1, 3].

Таким образом, представленные в настоящей статье результаты геохронологических исследований Кенгурак-Сергачинского массива являются первыми свидетельствами проявления раннепротерозойского габбро-анортозитового магматизма в пределах восточной части Селенгино-Станового супертеррейна. Важно отметить, что между возрастом гранулитового метаморфизма, проявленного в супракrustальных образованиях Могочинского блока этого супертеррейна ( $1873 \pm 8$  млн лет) [6], и возрастом исследованного массива ( $1866 \pm 6$  млн лет), не затронутого этим метаморфизмом, существовал незначительный разрыв во времени, что может свидетельствовать о постколлизионной природе Кенгурак-Сергачинского массива. На это указывает также и то, что возраст массива соответствует возрасту гигантского Южно-Сибирского постколлизионного магматического пояса [11, 25].

## ВЫВОДЫ

1. Кенгурак-Сергачинский массив Могочинского блока Селенгино-Станового супертеррейна представляет собой грубо расслоенную интрузию, сложенную породами габбро-анортозитовой ассоциации.

2. Породы Кенгурак-Сергачинского массива характеризуются умеренным обогащением крупноионными лиофильными элементами (LILE) и, напротив, деплетированы в отношении некоторых высокозарядных элементов (HFSE), элементов группы железа.

3. Оценка возраста, полученная для Кенгурак-Сергачинского массива, –  $1866 \pm 6$  млн лет – является первым свидетельством проявления раннепротерозойского габбро-анортозитового магматизма в пределах восточной части Селенгино-Станового супертеррейна.

4. По представлениям авторов, Кенгурак-Сергачинский массив, вероятно, сформировался в постколлизионной обстановке.

Работа выполнена при финансовой поддержке Российского фонда фундаментальных исследований

(гранты 05-05-65347, 04-05-64810), Президиума ДВО РАН (проекты "Этапы формирования континентальной коры и геодинамическая эволюция восточного сегмента Монголо-Охотского складчатого пояса", "Возрастные уровни мезозойского магматизма и оруденения Южной окраины Сибирского кратона").

## ЛИТЕРАТУРА

1. Бучко И.В., Кудряшов Н.М., Деленицин А.А. Геохимия и геохронология расслоенного мафит-ультрамафитового комплекса (южное обрамление Сибирского кратона) // Изотопная геохронология в решении проблем геодинамики и рудогенеза. СПб., 2003. С. 94–96.
2. Бучко И.В., Кудряшов Н.М. Геохимические особенности расслоенных массивов восточной части Западно-Станового террейна (южное обрамление Северо-Азиатского кратона) // Тихоокеан. геология. 2005. Т. 24, № 2. С. 95–109.
3. Бучко И.В., Сальникова Е.Б., Сорокин А.А., Сорокин А.П., Котов А.Б., Яковлева С.З. Первые свидетельства проявления мезозойского ультрамафит-мафитового магматизма в пределах Селенгино-Станового террейна юго-восточного обрамления Сибирского кратона // Докл. РАН. 2005. Т. 405. № 4.
4. Бучко И.В., Сальникова Е.Б., Ларин А.М. и др. Возрастные рубежи формирования мафитовых и ультрамафит-мафитовых комплексов Селенгино-Станового и Джугджуро-Станового супертеррейнов юго-восточного обрамления Сибирского кратона // Геодинамическая эволюция литосферы Центрально-Азиатского подвижного пояса (от океана к континенту): Материалы науч. совещ. Иркутск, 2005. Т. 1. С. 38–40.
5. Великославинский Д.А., Биркис А.П., Богатиков О.А. и др. Анортозит-рапакивигранитная формация. Л: Наука, 1978. 296 с.
6. Гаврикова С.Н., Николаева Л.Л., Галанин А.В. и др. Ранний докембрий южной части Становой складчатой области. М.: Недра, 1991. 171 с.
7. Геологическая карта региона БАМ. 1:500 000. Лист N-51-Б / Ред. Л.П. Карсаков. Л: ВСЕГЕИ, 1984.
8. Геологическая карта Приамурья и сопредельных территорий. 1:2500000: Объясн. зап. Санкт-Петербург, Благовещенск, Харбин. 1999. 135 с.
9. Дмитриев Л. В., Силантьев С. А., Плечова А. А. Сравнение базальтового магматизма в условиях разной скорости спрединга на примере Срединно-Атлантического хребта (САХ) и Восточно-Тихоокеанского поднятия (ВТП) // Российский журнал наук о Земле. 2000. Т. 2. №3/4.
10. Козак З.П., Давыдов А.С., Вахтомин К.Д. и др. Государственная геологическая карта Российской Федерации. 1:200 000. (Изд-ние 2-ое). Сер. Становая. Лист N-51-XVI. ВСЕГЕИ. СПб.: Изд-во картфабрики ВСЕГЕИ, 2000.
11. Ларин А.М., Котов А.Б., Сальникова Е.Б., Ковач В.П., Макарьев Л.Б., Тимашков А.Н., Бережная Н.Г., Яковлева С.З. Новые данные о возрасте гранитов Кодарского и Тукурингрского комплексов, Восточная Сибирь: геодинамические следствия // Петрология. 2000. Т. 8, № 3. С. 267–279.
12. Ларин А.М., Котов А.Б., Ковач В.П., Глебовицкий В.А., Сальникова Е.Б., Заблоцкий Е.М., Загорная Н.Ю. Этапы формирования континентальной коры центральной части

- Джугджуро-Становой складчатой области // Геология и геофизика. 2002. Т. 43, № 4. С. 395–399.
13. Ларин А.М., Котов А.Б., Сальникова Е.Б., Ковач В.П., Яковлева С.З., Саватенков В.М. Тектоническая эволюция центральной части Джугджуро-Становой складчатой области: результаты U-Pb геохронологических и изотопно-геохимических (Nd, Sr, Pb) исследований // Изотопная геология в решении проблем геодинамики и рудогенеза. СПб., 2003. С. 253–257.
  14. Магматические горные породы. Основные породы / Ред. Е. В. Шарков. М: Наука, 1985. Т. 3. 488 с.
  15. Мартынук М.В., Рямов С.А., Кондратьева В.А. Объяснительная записка к схеме корреляции магматических комплексов Хабаровского края и Амурской области. Хабаровск: ПГО “Дальгеология”, 1990. 215 с.
  16. Неймарк Л.А., Ларин А.М., Овчинникова Г.В. и др. У-Pb возраст анортозитов Джугджура // Докл. РАН. 1992. Т. 323, № 3. С. 514–518.
  17. Розен О.М., Журавлев Д.З., Суханов М.К., Бибикова Е.В., Злобин В.Л. Изотопно-геохимические и возрастные характеристики раннепротерозойских террейнов, коллизионных зон и связанных с ними анортозитов на северо-востоке Сибирского кратона // Геология и геофизика. 2000. Т. 41, № 2. С. 163–180.
  18. Сальникова Е.Б., Ларин А.М., Котов А.Б., Глебовицкий В.А., Суханов М.К., Яковлева С.З., Ковач В.П., Бережная Н.Г., Толкачев М.Д. Каларский анортозит-чарнокитовый комплекс (Алдано-Становой щит): возраст и тектоническое положение // Стратиграфия. Геол. корреляция. 2004. Т. 12, №3. С. 3–11.
  19. Суханов М.К., Журавлев Д.З. Sm-Nd изотопный возраст Каларского чарнокит-анортозитового комплекса (Восточное Забайкалье) // Геохимия. 2002. № 8. С. 898–902.
  20. Шарков Е.В. Петрология расслоенных интрузий. Л: Нauка, 1980. 183 с.
  21. Шарков Е.В. Петрология магматических процессов. М: Недра, 1983. 200 с.
  22. McDonough W., Sun S-s. The composition of the Earth // Chemical Geology. 1995. V. 120, Is. 3–4. P. 223–253.
  23. Krogh T.E. A low-contamination method for hydrothermal decomposition of zircon and extraction of U and Pb for isotopic age determination // Geochim. et Cosmochim. Acta. 1973. V. 37. P. 485–494.
  24. Krogh T.E. Improved accuracy of U-Pb zircon by the creation of more concordant systems using an air abrasion technique // Geochim. et Cosmochim. Acta. 1982. V. 46. P. 637–649.
  25. Larin A., Neymark L., Trans-Siberian Proterozoic (1.7–1.9 Ga) anorogenic anorthosite-rapakivi-like granite – acid volcanic belt, in: 29th IGC. Japan, Kyoto. 1992. P. 563.
  26. Ludwig K.R. ISOPLOT for MS-DOS, version 2.50 // U.S. Geol. Survey Open-File Rept. 88–557. 1991. 64 p.
  27. Ludwig K.R. PbDat for MS-DOS, version 1.21 // U.S. Geol. Survey Open-File Rept. 88–542. 1991. 35 p. 10. Krogh T.E. Improved accuracy of U-Pb zircon by the creation of more concordant systems using an air abrasion technique // Geochim. et Cosmochim. Acta. 1982. V.46. P. 637–649.
  28. Ludwig K.R. ISOPLOT/Ex.Version 2.06. A geochronological toolkit for Microsoft Excel. Berkley Geochronology Center Sp.Publ. 1999. N 1a. 49 p.
  29. Stacey J.S., Kramers I.D. Approximation of terrestrial lead isotope evolution by a two-stage model // Earth Planet. Sci. Lett. 1975. V. 26. N 2. P. 207–221.
  30. Steiger R.H., Jager E. Subcommission of Geochronology: convention of the use of decay constants in geo- and cosmochronology // Earth Planet. Sci. Lett. 1976. V. 36. N 2. P. 359–362.

Поступила в редакцию 20 января 2006 г.

Рекомендована к печати А.П. Сорокиным

**I.V. Buchko, Ye.B. Sal'nikova, A.A. Sorokin, A.B. Kotov, A.M. Larin, S.Z. Yakovleva**

**Primary data on the age and geochemistry of rocks from the Kengurak-Sergachi gabbro-anorthosite massif (south-eastern framing of the Siberian craton)**

The geochemical and geochronological data (U-Pb method on zircon) for the Kengurak-Sergachi gabbro-anorthosite massif of the Mogocha terrane of the Selenga-Stanovoy superterrane are cited. The rocks of the massif under consideration are characterized by moderate enrichment in large-ion lithophile elements (LILE) and, on the contrary, by depletion with regard to some HFSE elements and ferrum group elements, which is characteristic of the rocks of anorthosite-rapakivi-granitic associations. Age estimation obtained for the Kengurak-Sergachi massif,  $1866 \pm 6$  Ma, is the first evidence of occurrence of Early Proterozoic gabbro-anorthosite magmatism within the eastern part of the Selenga-Stanovoy superterrane.

**Key words:** gabbro-anorthosite, geochemistry, geochronology, U-Pb method, southeastern framing of the Siberian craton.